

**Figura 12. Formaciones cristalinas en genotipo tolerante (D-878) de maíz (*Zea mays*) tratado.
Aumento: 37,536X.**

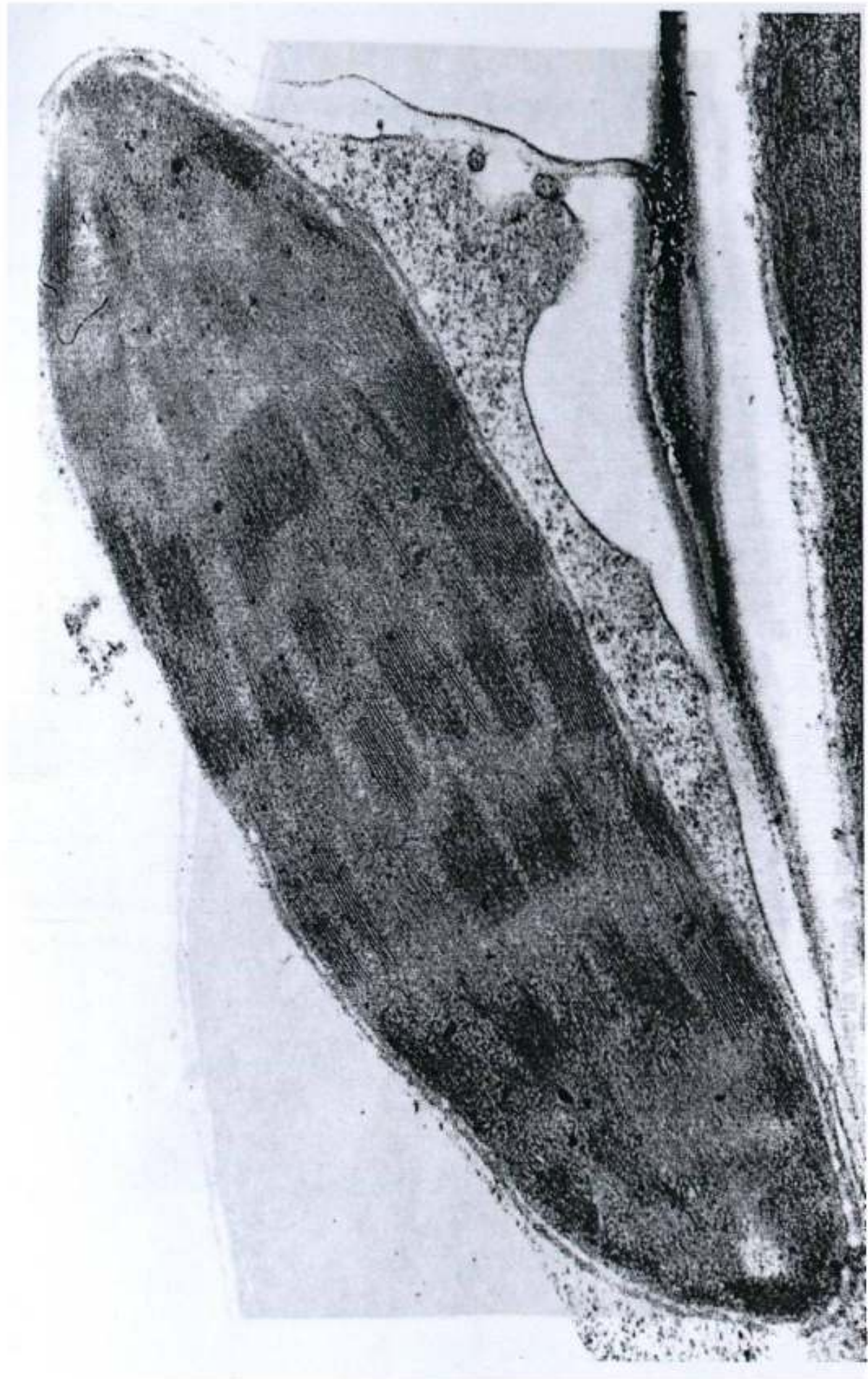


Figura 13. Cloroplasto del mesófilo del control del genotipo sensible (B-830) de maíz (*Zea mays*). Aumento 48,700X. El cloroplasto con formada finida y los grana bien organizados.

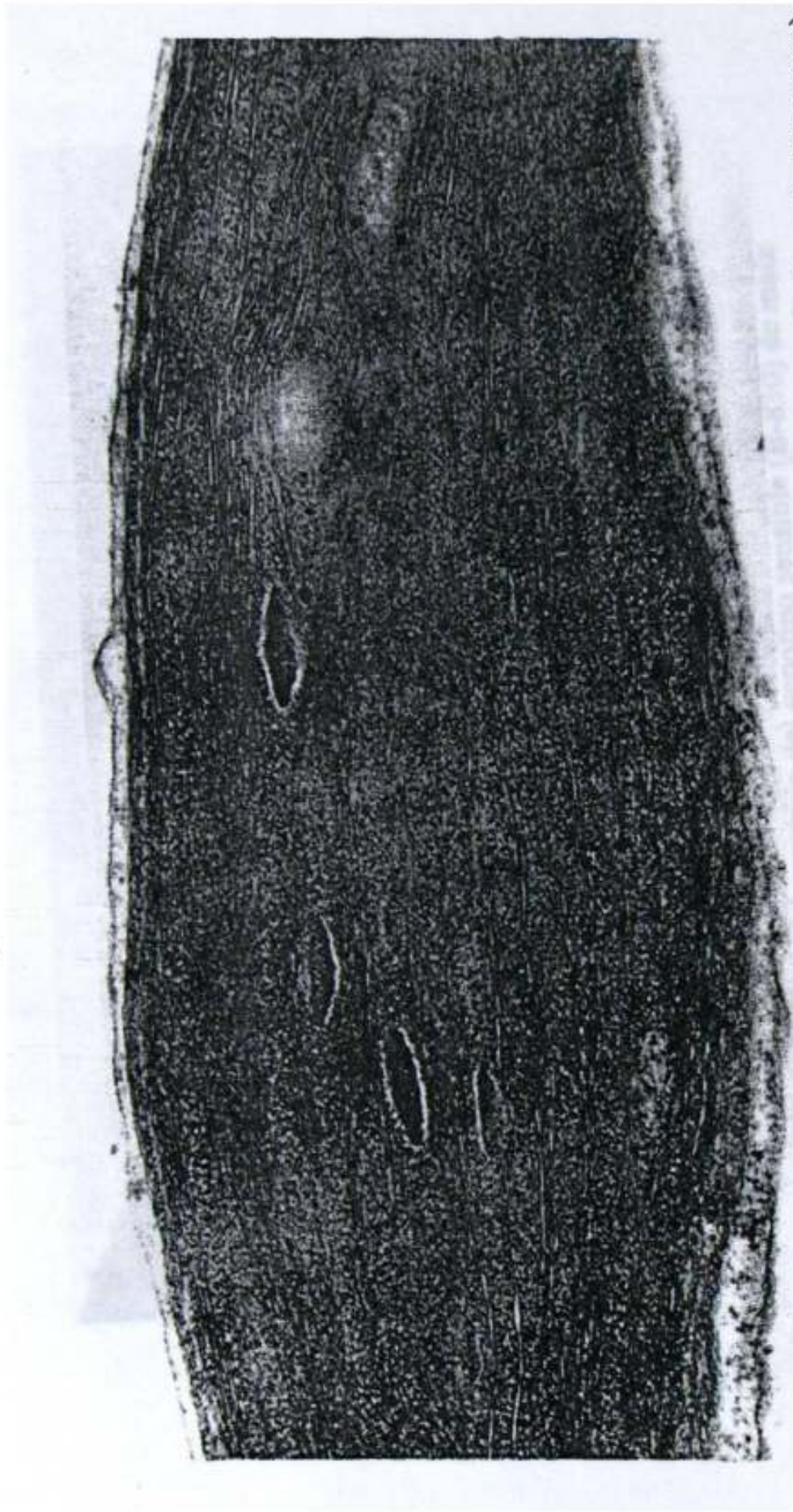


Figura 14. Cloroplasto de la vaina de Kranz en el control del genotipo sensible (B-830) de maíz (*Zea mays*). Aumento: 41,779X. Gránulos de almidón en menor número y tamaño que el genotipo tolerante.



Figura 15. Cloroplasto del mesófilo del genotipo sensible (B-830) de maíz (*Zea mays*) tratado. Aumento: 22,848X. El cloroplasto de forma regular y los grana de menor tamaño que el control.

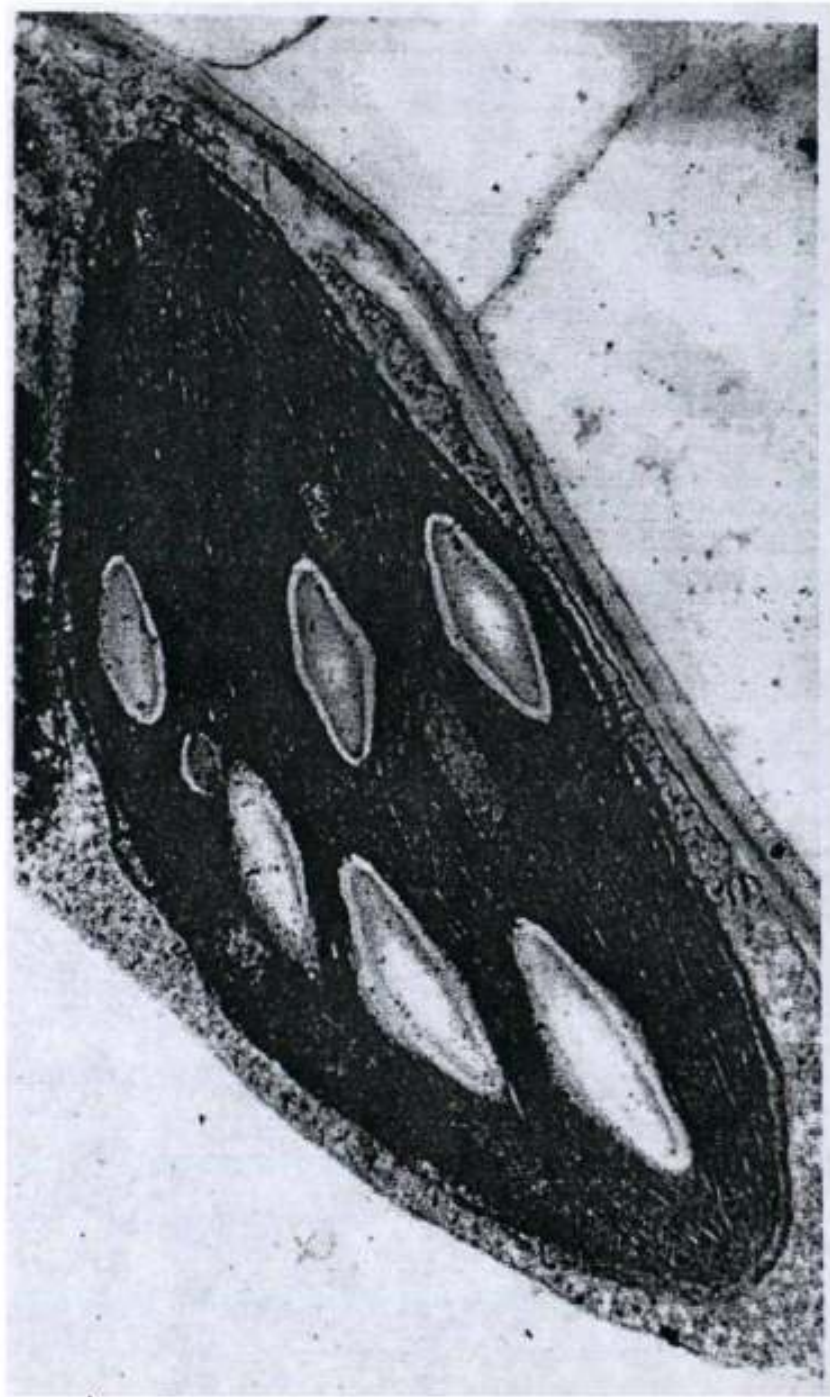
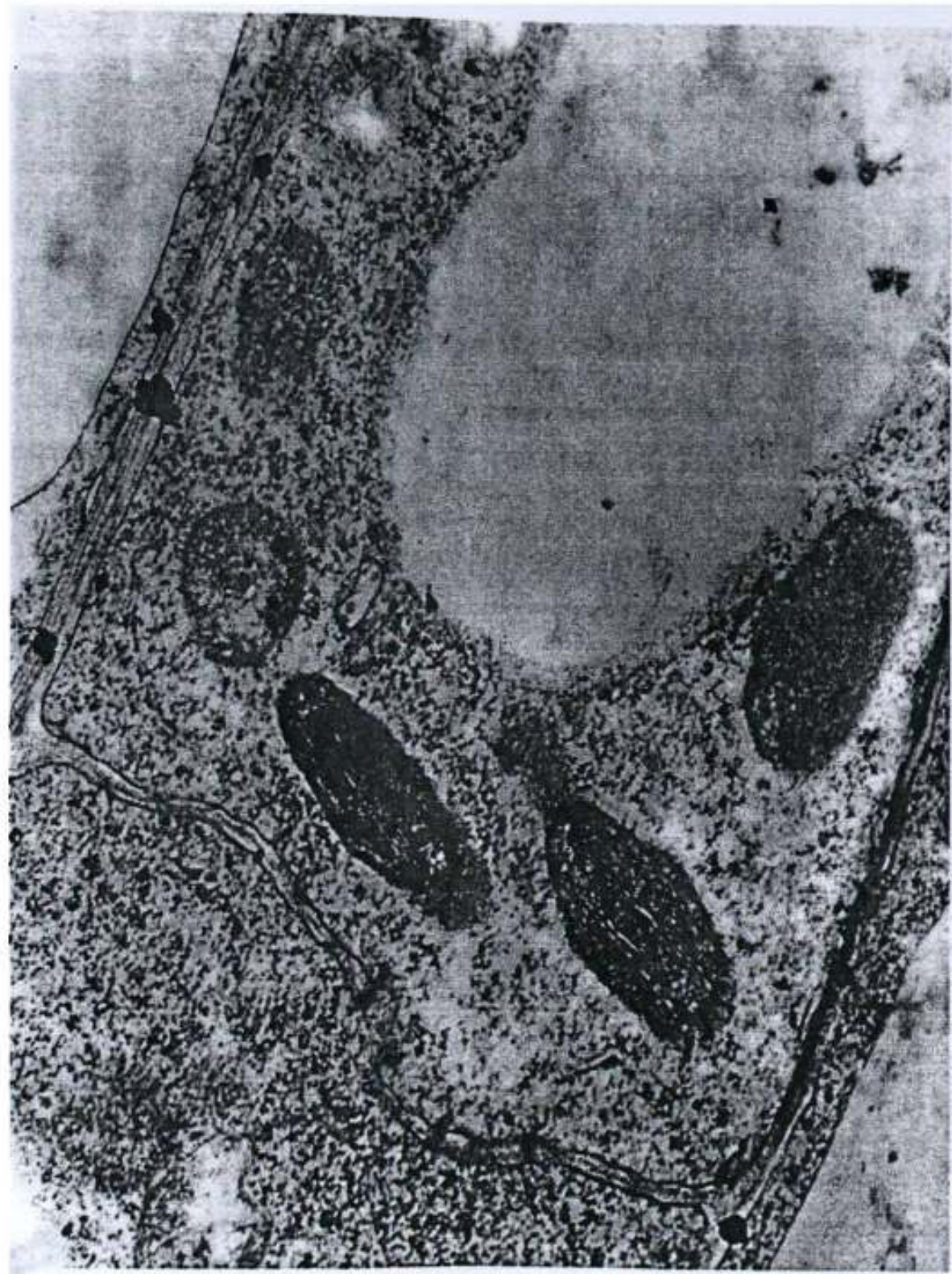


Figura 16. Cloroplasto de la vaina de Kranz en el genotipo sensible (B-830) de maíz (*Zea mays*). Aumento: 22,848X.



**Figura 17. Meristemo del control del genotipo sensible (B-830) de maiz (*Zea mays*).
Aumento: 34,272X.**

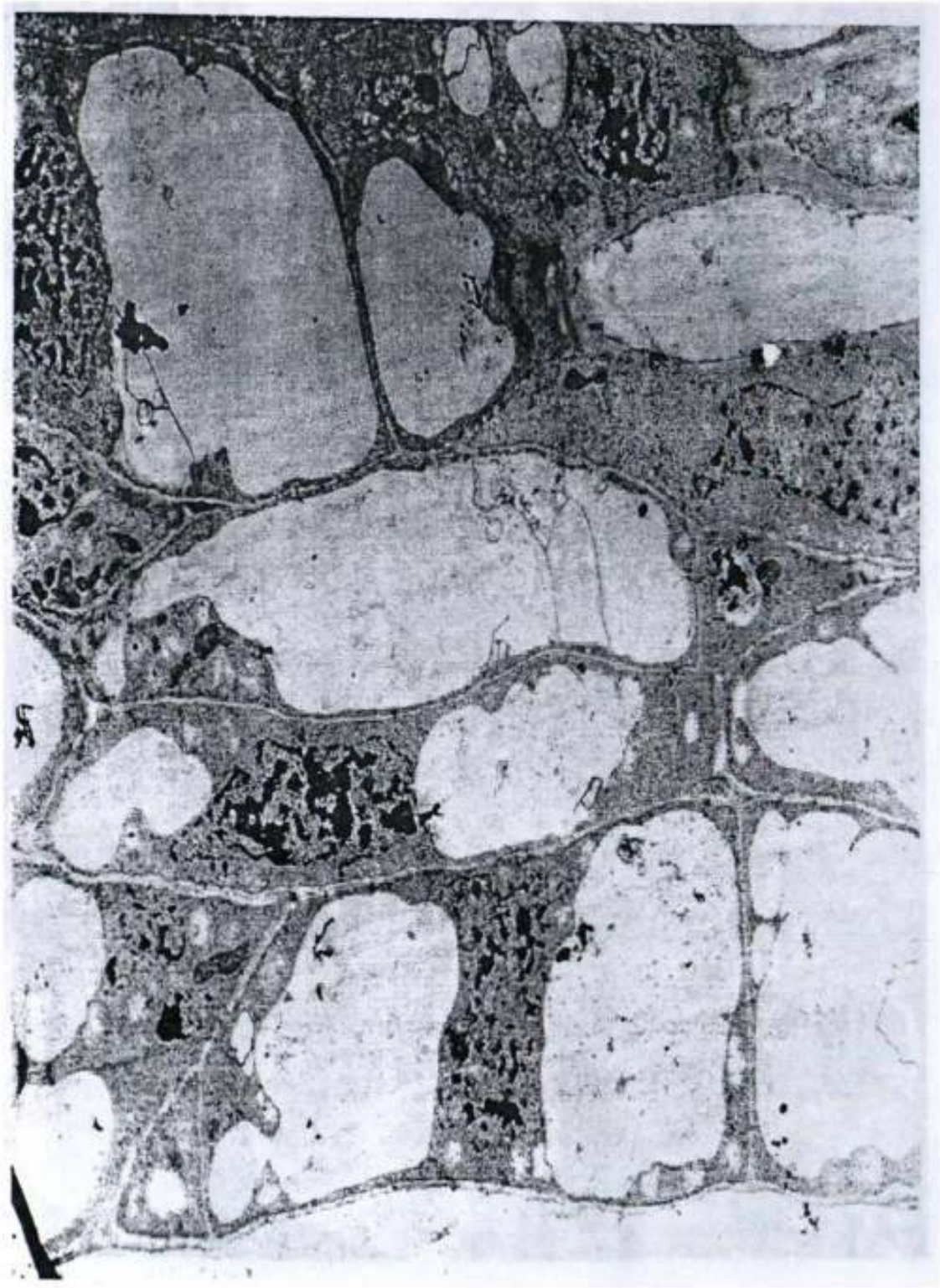


Figura 18. Meristemo del genotipo sensible tratado (B-830) de maíz (*Zea mays*). Aumento: 8,232X. Observándose la formación de vacuolas.

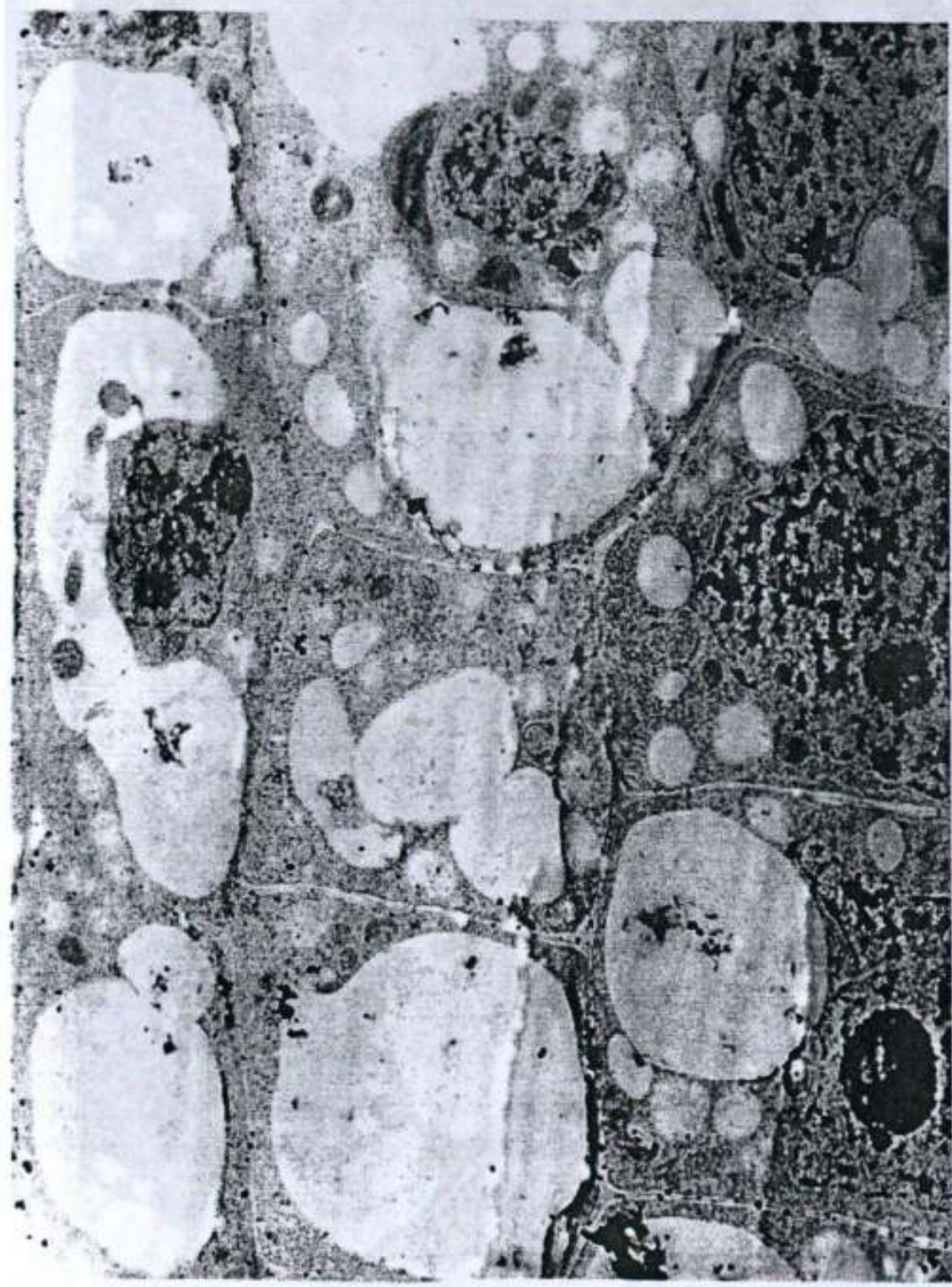


Figura 19. Meristemo del control del genotipo tolerante (D-878) de maíz (*Zea mays*). Aumento: 9,996X. Observándose mayor número de células que el sensible.

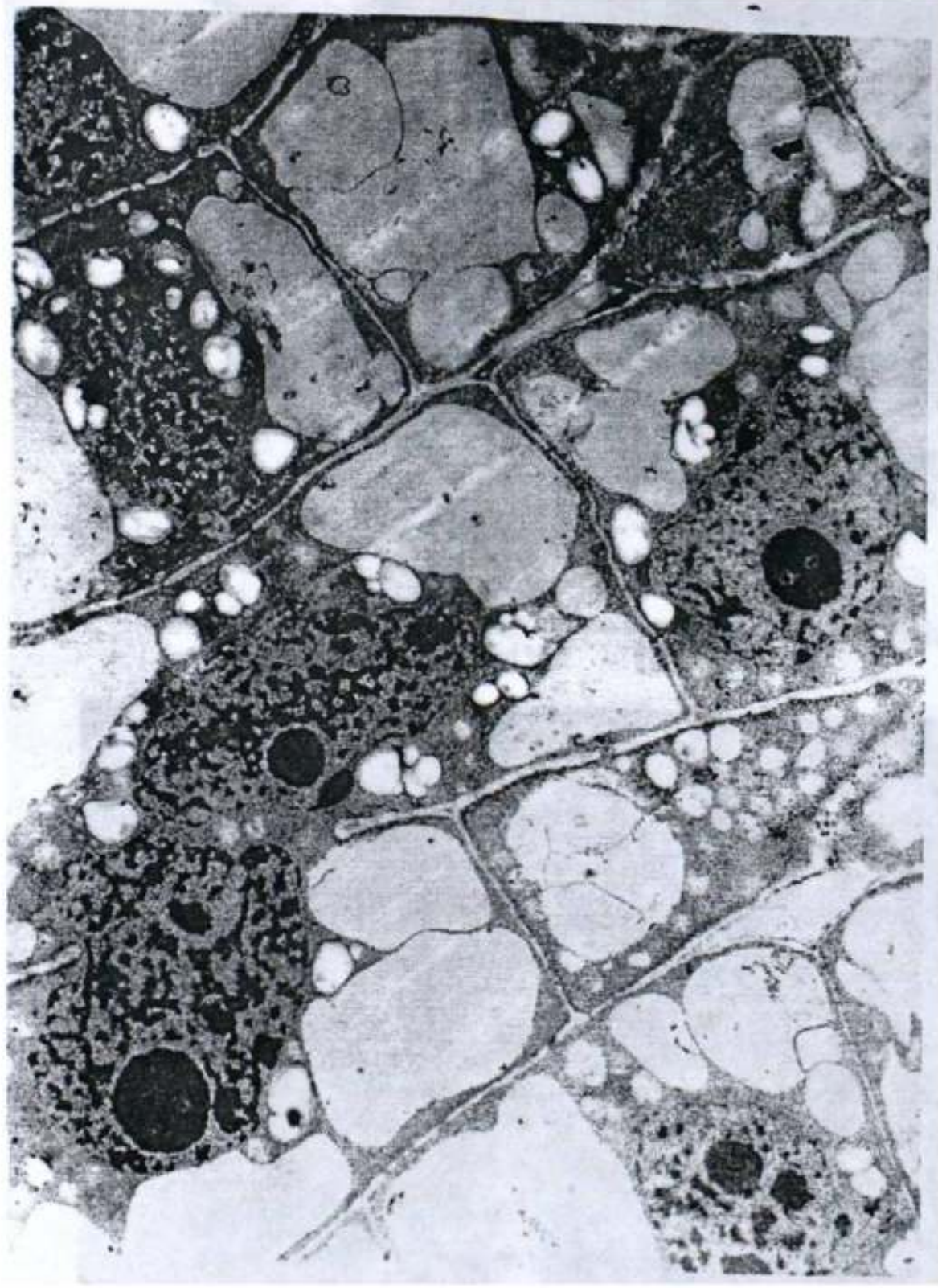


Figura 20. Meristemo del genotipo tolerante (D-878) de maíz (*Zea mays*) tratado. Aumento: 5,880X. Observándose gran cantidad de gránulos de almidón.

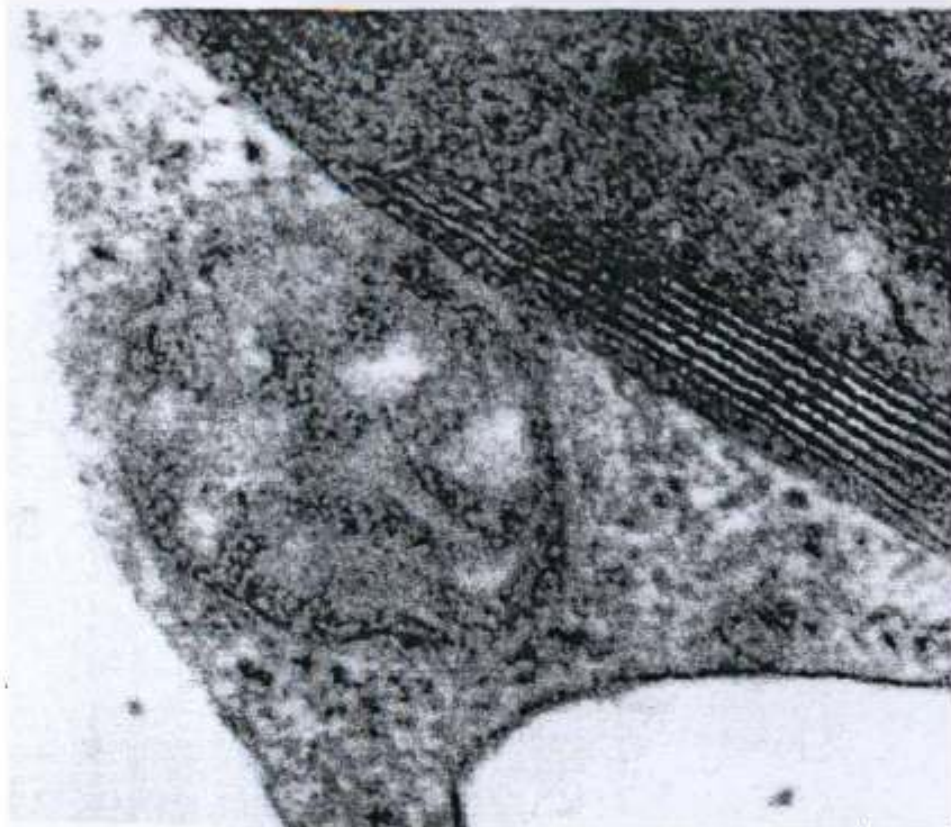


Figura 21. Mitocondrias del genotipo sensible (B-830) de maíz (*Zea mays*). Aumento: 85,680X.

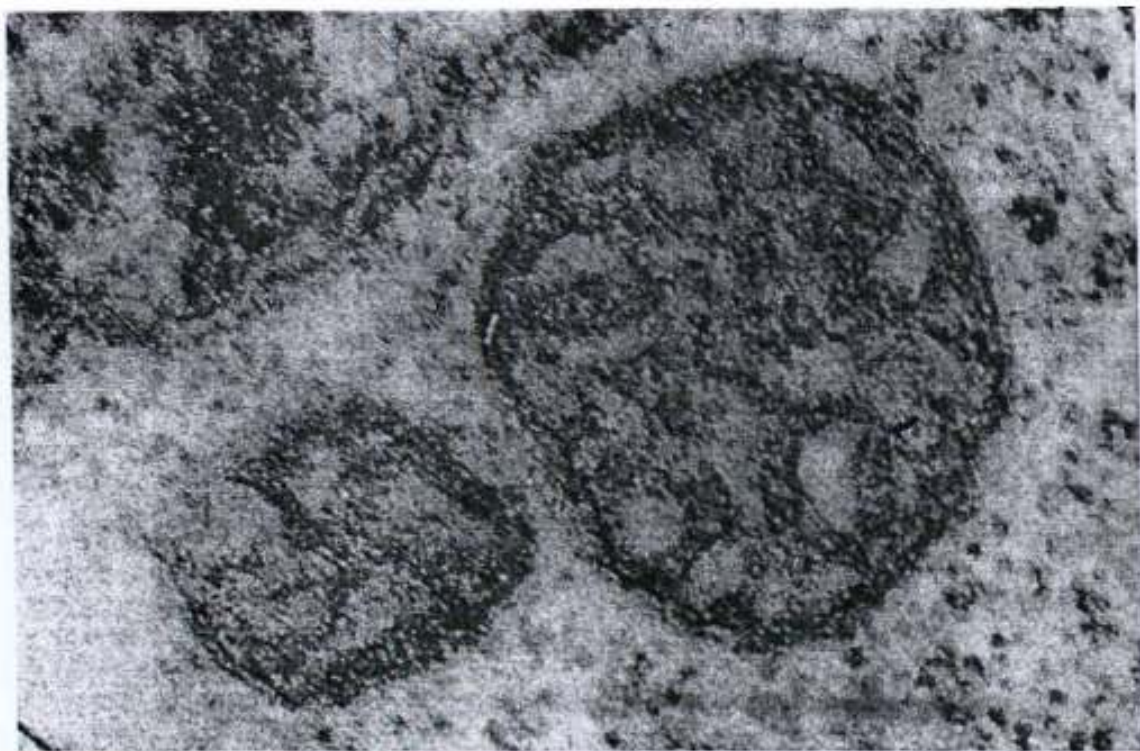


Figura 22. Mitocondrias del genotipo tolerante (D-878) de maíz (*Zea mays*). Aumento: 85,680X. Observándose mayor número y tamaño que en el sensible.

